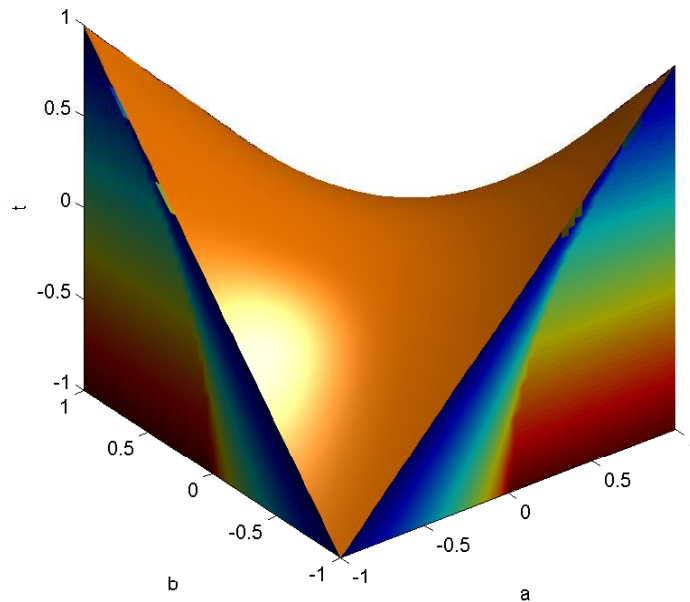


**Analyse et synthèse robustes
des systèmes linéaires
Cours 10
Analyse de performance robuste**



- **Caractéristiques temporelles**

 - Réponses en boucle fermée à des entrées typiques (gabarits temporels)

 - Placement de pôles dans des sous-régions du plan complexe

- **Caractéristiques fréquentielles**

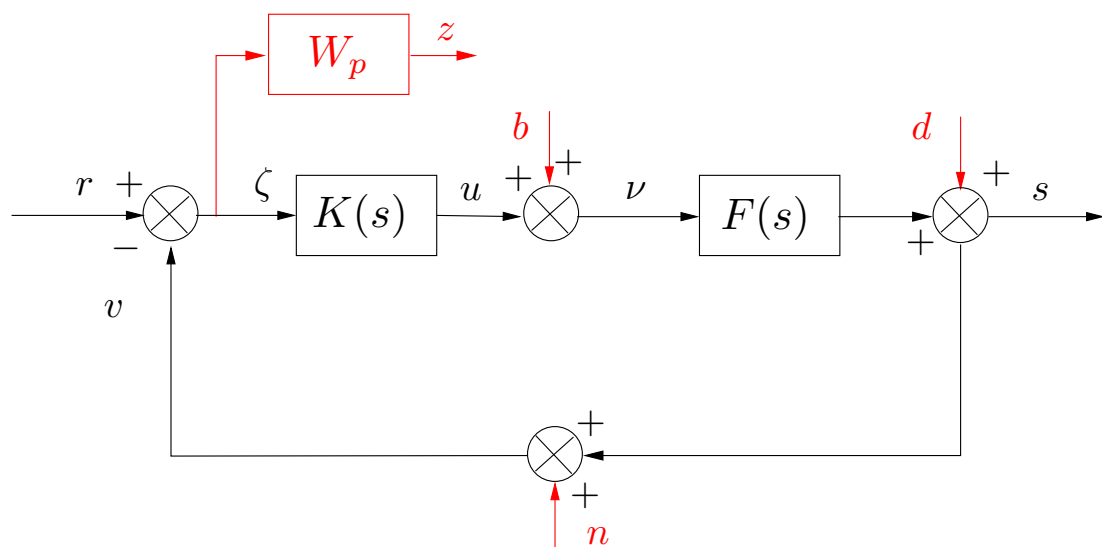
 - Modélage de boucle et des fonctions de sensibilité (gabarits fréquentiels)

 - Utilisation de fonctions de pondération

- **La notion de norme système**

 - Norme \mathcal{H}_∞ (pire des cas)

 - Norme \mathcal{H}_2 (énergie)...



- Les fonctions de sensibilités :

$$S_y = (\mathbf{1} + FK)^{-1}$$

$$T_y = (\mathbf{1} + FK)^{-1}FK$$

$$S_u = (\mathbf{1} + KF)^{-1}$$

$$T_u = (\mathbf{1} + KF)^{-1}KF$$

$$KS_y = K(\mathbf{1} + FK)^{-1}$$

$$S_y F = (\mathbf{1} + FK)^{-1}F$$

Propriétés :

$$S_y + T_y = \mathbf{1}$$

$$S_u + T_u = \mathbf{1}$$

$$KS_y = S_u K$$

$$S_y F = F S_u$$

Exemple de spécification : bon suivi de référence

$$\epsilon = s - r = S_y(d - r) - T_y n + S_y F b$$

Soit

$$\underline{\sigma}(S_y(\omega)) \leq \frac{\|\epsilon(\omega)\|_2}{\|r(\omega)\|_2} \leq \bar{\sigma}(S_y(\omega))$$

On a donc :

$$\bar{\sigma}(W_p S_y(\omega)) \leq 1 \quad \forall \omega \quad \text{où } W_p = \text{diag}(w_{p_i}) \text{ et } w_{p_i} = \frac{s/M_i + \omega_{Bi}}{s + \omega_{Bi} A_i}$$

avec $A_i \ll 1$ pour une action intégrale, $M_i \simeq 2$, ω_{Bi} la bande passante en BF

Nota : pour les systèmes MIMO, on définit une région de bande passante

$$\omega_{\underline{\sigma}(S)=0.7} \leq \omega_B \leq \omega_{\bar{\sigma}(S)=0.7}$$

Exemple de spécification : bon suivi de référence

Le tracé des valeurs singulières min et max de S doit donc suivre un gabarit :

- Faible à basses fréquences

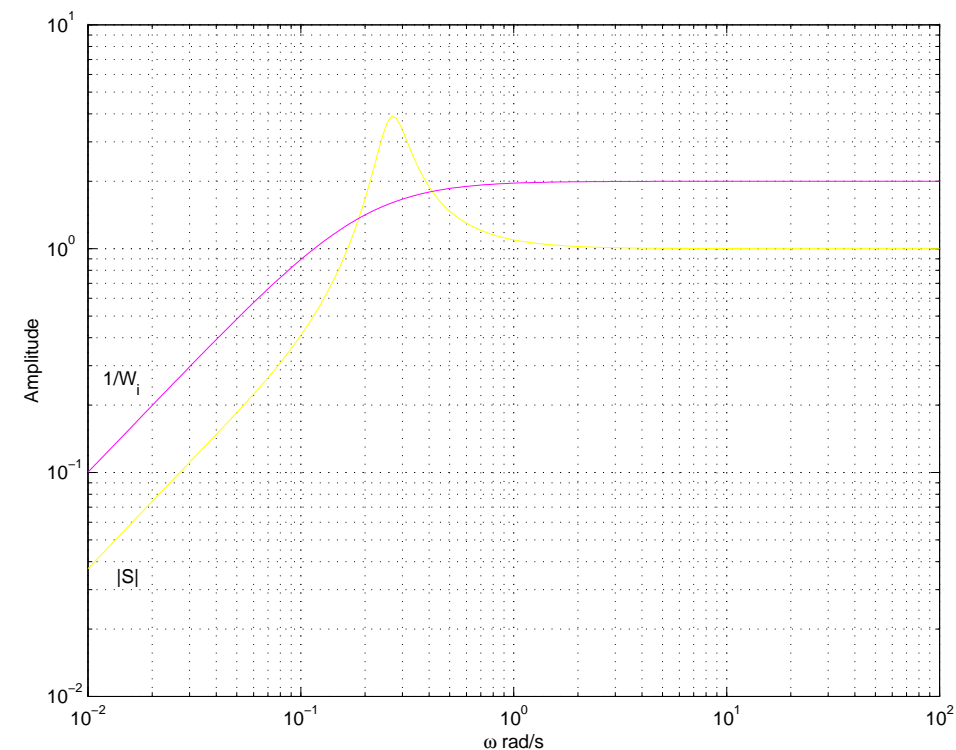
$$\omega < \omega_B \quad \bar{\sigma}(S) \ll 1$$

- ~ 1 aux hautes fréquences

$$\omega > \omega_B \quad \bar{\sigma}(S) \sim 1$$

- Un pic supérieur à 1 autour de la pulsation de coupure ω_B

$$\omega \sim \omega_B \quad 0.41 \leq \bar{\sigma}(S) \leq 2.41$$



- Objectifs de performance :

- S_y et $S_y F$ faibles : suivi de référence et réjection de perturbations

$$\bar{\sigma}(W_p S_y(\omega)) \leq 1 \quad \forall \omega \Leftrightarrow \|W_p S_y\|_\infty \leq 1$$

- $K S_y$, T_u et S_u faibles : u et ν faibles

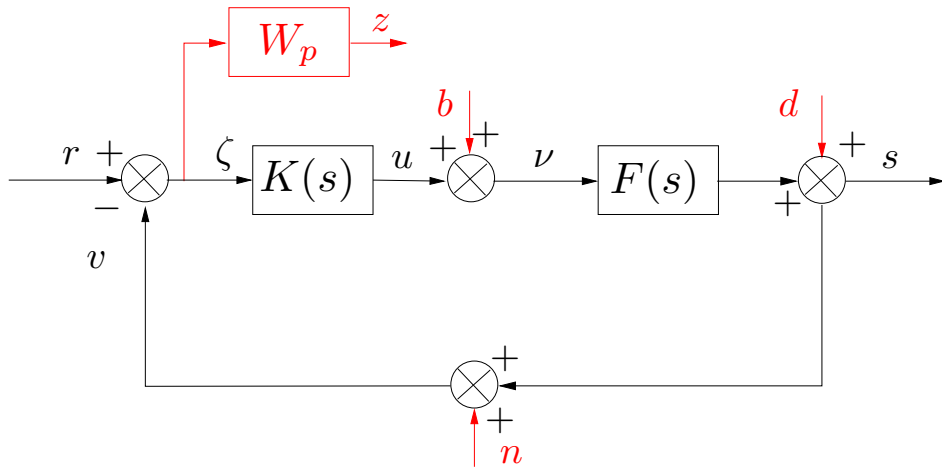
$$\bar{\sigma}(W_u K S_y(\omega)) \leq 1 \quad \forall \omega \Leftrightarrow \|W_u K S_y\|_\infty \leq 1$$

- T_y faible : un bon filtrage des bruits de mesure

$$\bar{\sigma}(W_T T_y(\omega)) \leq 1 \quad \forall \omega \Leftrightarrow \|W_T T_y\|_\infty \leq 1$$

- Contraintes algébriques sur les spécifications :

$$|1 - \bar{\sigma}(S)| \leq \bar{\sigma}(T) \leq 1 + \bar{\sigma}(S) \quad |1 - \bar{\sigma}(T)| \leq \bar{\sigma}(S) \leq 1 + \bar{\sigma}(T)$$

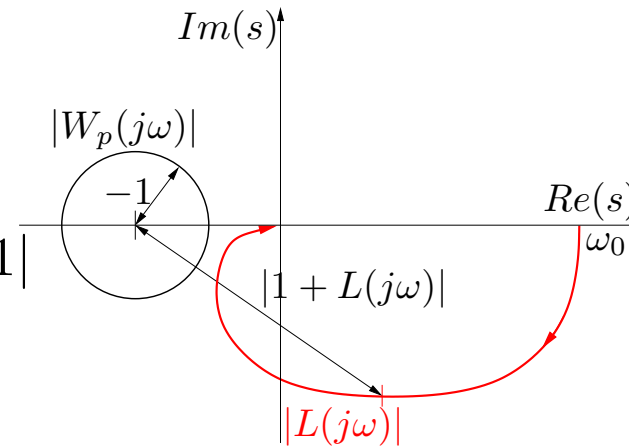


Condition de performance nominale :

$$\bar{\sigma}(W_p S_y(\omega)) \leq 1 \quad \forall \omega \Leftrightarrow \|W_p S_y\|_{\infty} \leq 1$$

Interprétation SISO :

$$\|W_p S_y\|_{\infty} \leq 1 \Leftrightarrow \forall \omega \quad |W_p(j\omega)| \leq |L_y(j\omega) + 1|$$

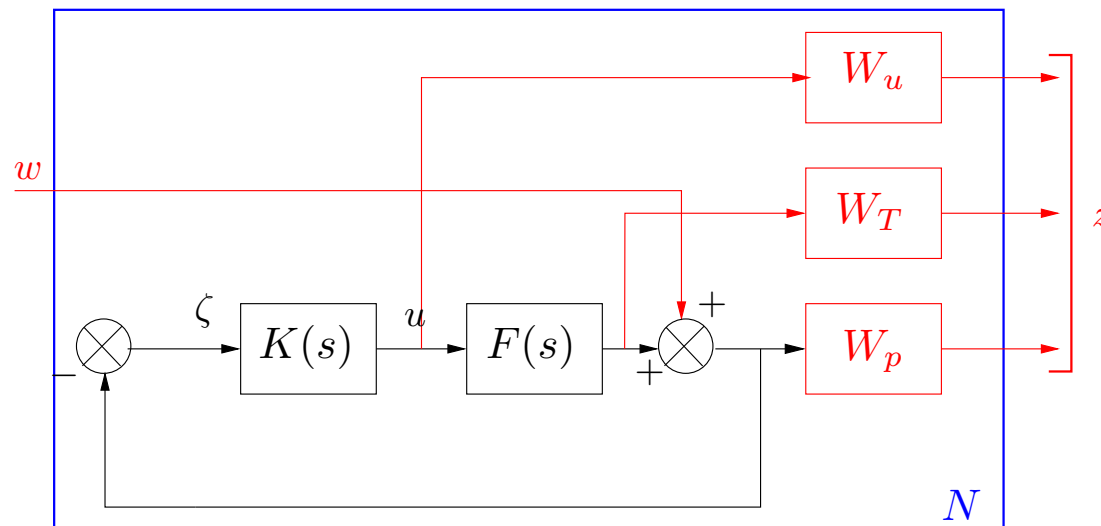


Condition de performance nominale étendue :

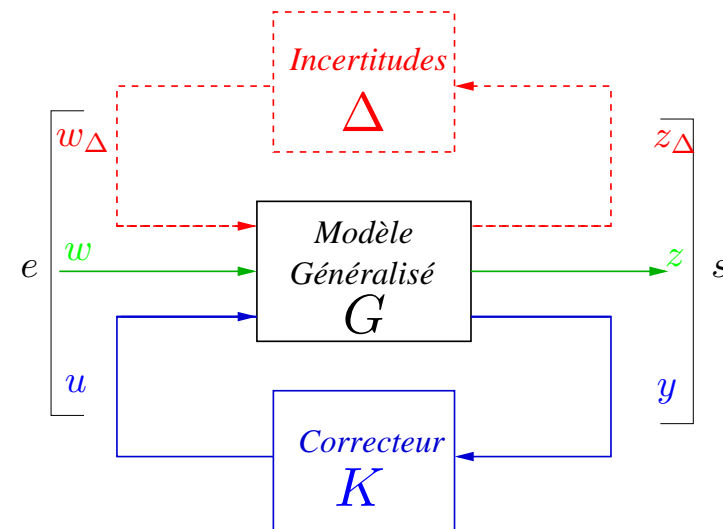
$$N = \begin{bmatrix} W_p S_y & W_T T_y & W_u K S_y \end{bmatrix}'$$

$$\bar{\sigma}(N(\omega)) \leq 1 \quad \forall \omega \Leftrightarrow \|N\|_\infty \leq 1$$

Mise sous forme standard :



$$\begin{bmatrix} z_\Delta \\ z \\ y \end{bmatrix} = G \begin{bmatrix} w_\Delta \\ w \\ u \end{bmatrix} \quad \begin{array}{l} u = Ky \\ w_\Delta = \Delta z_\Delta \\ \Delta \in \mathbf{\Delta} \end{array}$$



↳ Hypothèses 1 :

- $\mathbf{\Delta}_s = \{\Delta \in \mathcal{RH}_\infty \mid \Delta(j\omega) \text{ bloc diagonale } \bar{\sigma}(\Delta(j\omega)) < 1 \quad \forall \omega\}$
- $\forall \Delta \in \mathbf{\Delta}_s, \mathbf{1} - G_{11}(\infty)\Delta \text{ est inversible}$
- *Le transfert $w \rightarrow z$ est défini pour les performances*

▼ **Définition 1** : *analyse robuste en performance*

Etant donné $N(K)$ stable, le problème d'analyse de performance robuste revient à tester :

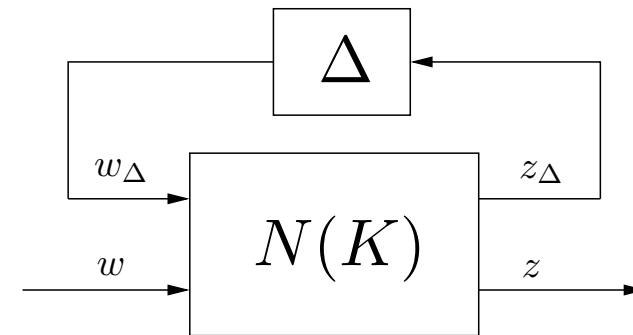
$$\|\mathcal{L}_u(\Delta, N)\|_\infty \leq 1 \quad \forall \|\Delta\|_\infty < 1$$

Notations :

$$\begin{bmatrix} z_\Delta \\ z \end{bmatrix} = \mathcal{L}_l(K, G) \begin{bmatrix} w_\Delta \\ w \end{bmatrix}$$

$$\mathcal{L}_l(K, G) = \begin{bmatrix} M & N_{12} \\ N_{21} & N_{22} \end{bmatrix}$$

$$\mathcal{L}_u(\Delta, N) = N_{22} + N_{21}\Delta(\mathbf{1} - M\Delta)^{-1}N_{12}$$



□ Théorème 1 :

- Performance nominale si :

$$\bar{\sigma}(N_{22}(j\omega)) \leq 1 \quad \forall \omega \in \mathbb{R}$$

- Stabilité robuste si :

$$\mu_{\Delta_s}(M(j\omega)) \leq 1 \quad \forall \omega \in \mathbb{R}$$

- Performance robuste si :

$$\bar{\sigma}(\mathcal{L}_u(\Delta, N(j\omega))) \leq 1 \quad \forall \Delta \in \Delta_s \quad \forall \omega \in \mathbb{R}$$

✍ Remarques 1 :

Ces test doivent être effectués sur l'ensemble des fréquences !

→ *Explosion numérique !*

□ Théorème 2 :

Etant donné un correcteur stabilisant de manière interne K (N est NS) la forme $N - \Delta$ avec $N_{22} \in \mathbb{C}^{p_2 \times q_2}$ vérifie la condition de **performance robuste** ssi :

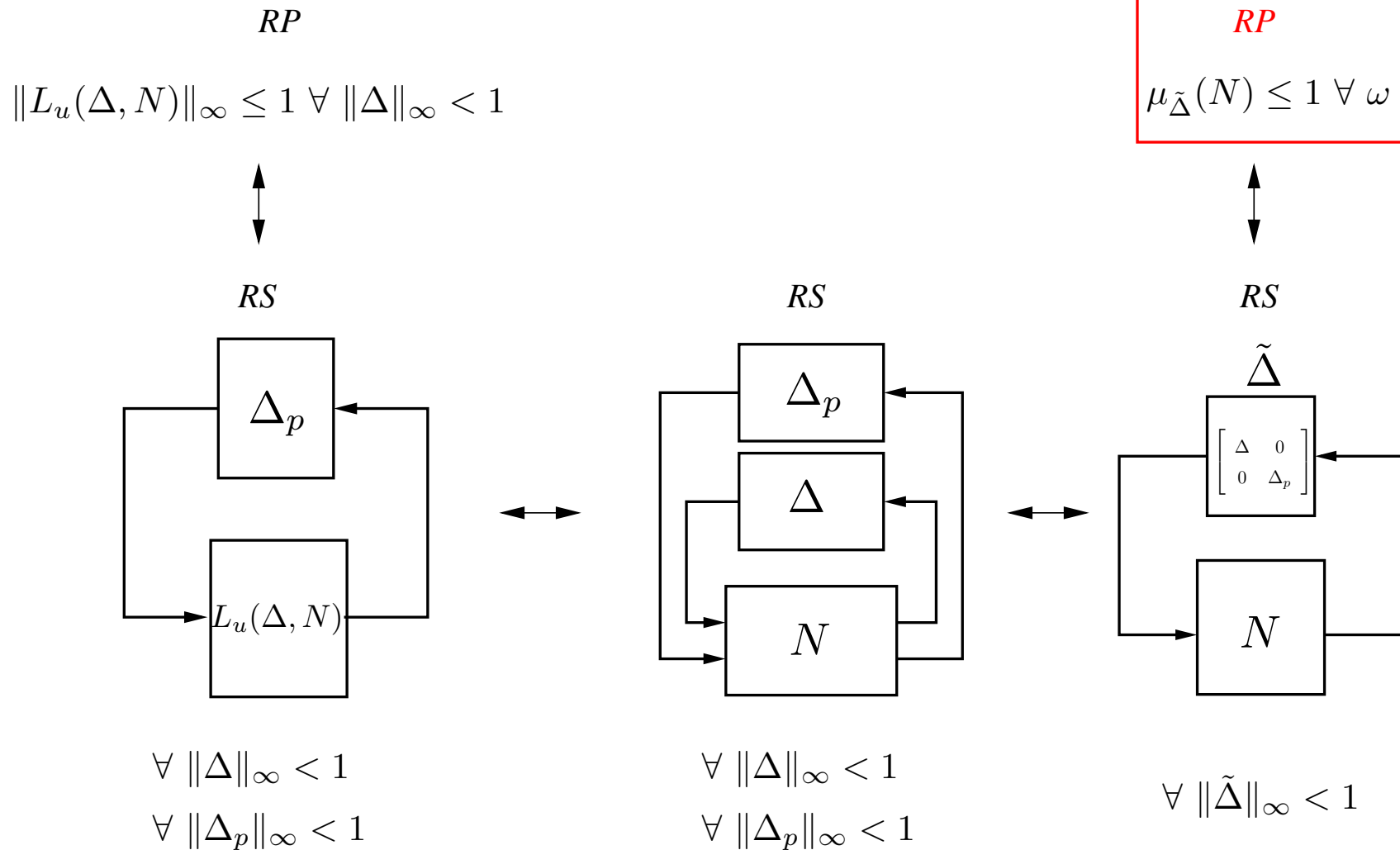
$$\mu_{\tilde{\Delta}}(N(j\omega)) \leq 1 \quad \forall \omega$$

où la structure d'incertitude est définie par :

$$\tilde{\Delta} = \begin{bmatrix} \Delta & \mathbf{0} \\ \mathbf{0} & \Delta_p \end{bmatrix} \quad \Delta_p \in \mathbb{C}^{p_2 \times q_2}$$

✍ Remarques 2 :

Le problème de performance robuste est équivalent à un problème de stabilité robuste avec incertitude structurée généralisée comprenant un bloc complexe plein fictif Δ_p



- Stabilité nominale (SN) si N est **stable de manière interne**
- Stabilité robuste (SR) si (SN) et :

$$\mu_{\Delta_s}(M(j\omega)) \leq 1 \quad \forall \omega \in \mathbb{R}$$

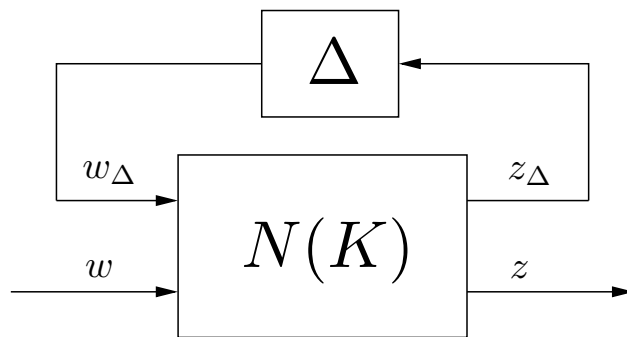
- Performance nominale (PN) si (SN) et :

$$\bar{\sigma}(N_{22}(j\omega)) = \mu_{\Delta_p}(N_{22}(j\omega)) \leq 1 \quad \forall \omega \in \mathbb{R}$$

- Performance robuste (PR) si (SN) et :

$$\mu_{\tilde{\Delta}}(N(j\omega)) \leq 1 \quad \forall \omega \in \mathbb{R}, \quad \tilde{\Delta} = \begin{bmatrix} \Delta & \mathbf{0} \\ \mathbf{0} & \Delta_p \end{bmatrix}$$

Soit le modèle bouclé incertain décrit par :



$$\begin{bmatrix} z_\Delta \\ z \end{bmatrix} = \begin{bmatrix} M & N_{12} \\ N_{21} & N_{22} \end{bmatrix} \begin{bmatrix} w_\Delta \\ w \end{bmatrix}$$

$$w_\Delta = \Delta z_\Delta, \quad \Delta \in \Delta_s$$

$$\mu_{\tilde{\Delta}} \left(N(j\omega) \begin{bmatrix} \gamma_1 \mathbf{1} & \mathbf{0} \\ \mathbf{0} & \gamma_2 \mathbf{1} \end{bmatrix} \right) \leq \gamma_3 \Leftrightarrow$$

$$\mu_{\Delta_s} (M(j\omega)) \leq \frac{\gamma_3}{\gamma_1}$$

et

$$\bar{\sigma}(\mathcal{L}_u(\Delta, N)) \leq \frac{\gamma_3}{\gamma_2} \quad \forall \Delta \in \frac{\gamma_1}{\gamma_3} \Delta_s$$

Exemple : [Scherer 00]

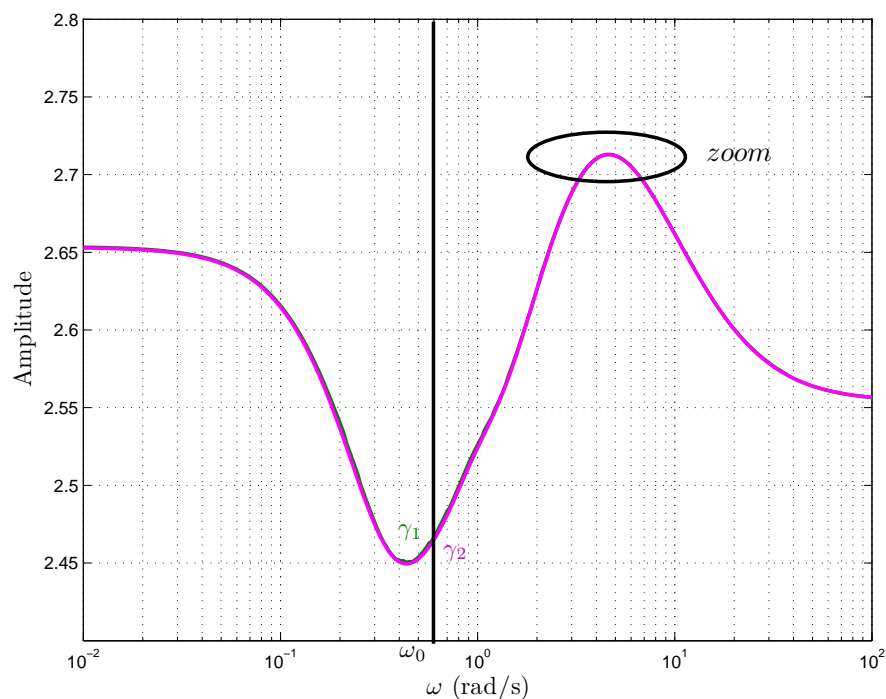
$$N(s) = \left[\begin{array}{ccc|c} \frac{1}{2s+1} & 1 & \frac{s-2}{2s+4} & \frac{s-0.1}{s+1} \\ -1 & \frac{s}{s^2+s+1} & \frac{1}{(s+1)^2} & 0.1 \\ \frac{3s}{s+5} & \frac{-1}{4s+1} & 1 & \frac{10}{s+4} \\ \hline \frac{1}{s+2} & \frac{0.1}{s^2+s+1} & \frac{s-1}{s+1} & 1 \end{array} \right] \quad \Delta = \begin{bmatrix} \Delta_1 & \mathbf{0} \\ \mathbf{0} & \Delta_2 \end{bmatrix}$$

$\|\Delta_i\|_\infty \leq 1$, $\Delta_1 \in \mathbb{C}^{2 \times 2}$, $\Delta_2 \in \mathbb{C}$

La structure généralisée :

$$\tilde{\Delta} = \left[\begin{array}{cc|c} \Delta_1 & \mathbf{0} & \mathbf{0} \\ \mathbf{0} & \Delta_2 & \mathbf{0} \\ \hline \mathbf{0} & \mathbf{0} & \Delta_p \end{array} \right] , \quad \Delta_1 \in \mathbb{C}^{2 \times 2} , \quad \Delta_2 \in \mathbb{C} , \quad \Delta_p \in \mathbb{C}$$

- (SR) : tracé de $\omega \rightarrow \mu_{\Delta}(M(j\omega))$
- (PR) : tracé de $\omega \rightarrow \mu_{\tilde{\Delta}}(N(j\omega))$

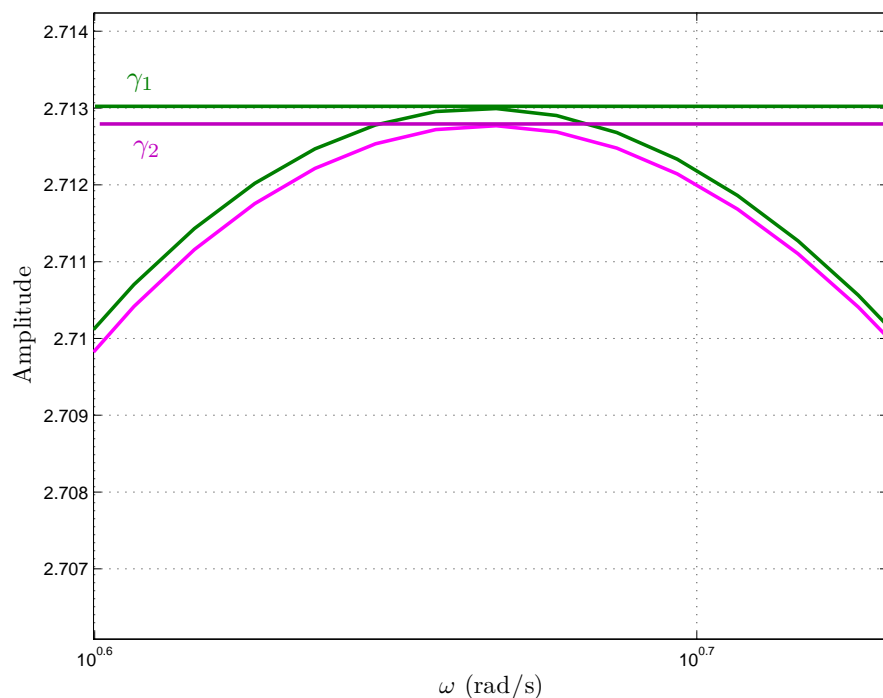


- $\mu_{\tilde{\Delta}}(N(j\omega_0)) \leq \gamma_1$ implique

$$\bar{\sigma}(\mathcal{L}_u(\Delta, N(j\omega_0))) \leq \gamma_1 \quad \forall \Delta \in \frac{1}{\gamma_1} \Delta_s$$

- $\mu_{\tilde{\Delta}}(N(j\omega_0)) > \gamma_2$ implique

$$\bar{\sigma}(\mathcal{L}_u(\Delta, N(j\omega_0))) > \gamma_2 \quad \text{pour } \Delta \in \frac{1}{\gamma_2} \Delta_s$$



- Borne sup $\leq \gamma_1 = 2.713 \quad \forall \omega :$

$$\|\mathcal{L}_u(\Delta, N)\|_\infty \leq 2.713$$

$$\forall \Delta \in 0.36859\Delta_s$$

- Borne inf. $> \gamma_2 = 2.7127$ à une pulsation donnée

$$\|\mathcal{L}_u(\Delta, N)\|_\infty > 2.7127$$

$$\text{pour } \Delta \in 0.36863\Delta_s$$